

# 二苯多烯分子的光物理性质与共轭长度的关系

彭 谦<sup>1</sup>, 牛英利<sup>1</sup>, 帅志刚<sup>1,2</sup>

(1. 中国科学院化学研究所, 100190 北京; 2. 清华大学化学系, 100084 北京)

**摘要** 应用无辐射跃迁理论, 结合密度泛函理论, 研究了共轭多烯体系光物理性质随共轭长度变化的规律。结果表明, 辐射跃迁速率与共轭长度几乎无关, 但无辐射跃迁速率随链长而增加。这是因为当共轭链增长时, 振子强度增加, 跃迁能减小, 从而对辐射跃迁速率相抵消, 而在无辐射跃迁过程中, 能隙规则起到主导作用。

**关键词** 二苯多烯烃; 电子结构计算; 共轭长度; 光物理性质; 无辐射跃迁速率

中图分类号 O641

文献标识码 A

文章编号 0251-0790(2008)12-2435-05

高效有机发光分子在光电子领域有重要应用<sup>[1,2]</sup>。深入理解有机分子的光物理过程有助于设计发光材料<sup>[3]</sup>。通常, 分子聚集会导致荧光猝灭, 但在某些时候, 聚集却能增强发光, 这对于发光器件研究是有益的<sup>[4~8]</sup>。多烯分子是最典型的共轭有机体系, 具有丰富的光物理性质。无辐射跃迁一直是实验和理论研究的难点。Huang 和 Rhys<sup>[9]</sup>以及 Lin 等<sup>[10~12]</sup>在 20 世纪 60~70 年代, 基于位移谐振子模型, 发展了一套内转换过程理论。考虑到基态与激发态具有不同的抛物面, 我们提出了 Duschinsky 转动效应的无辐射跃迁理论<sup>[13]</sup>。我们的研究结果表明, 当染料分子带有可转动的侧基团时, Duschinsky 转动导致的正则模式混合对于理解聚集增强发光的机理很重要<sup>[14]</sup>。多烯染料在视觉神经<sup>[15]</sup>、光合作用<sup>[16,17]</sup>及维他命 A 和 D<sup>[18,19]</sup>中都起到重要作用。链端用苯环封口, 使多烯分子稳定, 从而使许多光过程实验得以进行<sup>[20~23]</sup>。本文采用无辐射跃迁理论, 结合密度泛函理论以共轭多烯分子(如图 1)为例, 研究了共轭长度对光物理性质的影响。

## 1 理论方法

### 1.1 辐射跃迁速率

基于爱因斯坦自发辐射关系和波恩-奥本海默近似, 辐射跃迁速率的量子力学表达式为

$$k_r(f \leftarrow i) = \frac{64\pi^4}{3h^4 c^3} |\mu_{fi}|^2 \sum_{v_i} \sum_{v_f} P_{iv_i} \Delta E_{fv_f \leftarrow iv_i}^3 + \langle \Theta_{fv_f} | \Theta_{iv_i} \rangle |^2 \quad (1)$$

这里  $\Delta E_{fv_f \leftarrow iv_i}$  为电子激发态到基态的跃迁能量;  $\mu_{fi}$  为电偶极跃迁矩;  $\Theta_{fv_f}$  和  $\Theta_{iv_i}$  分别为初态和末态的振动波函数;  $P_{iv_i}$  为初态的热分布函数。辐射过程对温度不敏感, 因此, 可以简单地考虑零温, 得到:

$$k_r(f \leftarrow i0) = \frac{64\pi^4}{3h^4 c^3} |\mu_{fi}|^2 \sum_{v_f} \Delta E_{fv_f \leftarrow i0}^3 + \langle \Theta_{fv_f} | \Theta_{i0} \rangle |^2 \quad (2)$$

假如不考虑振动波函数的分布, 则  $k_r = f \Delta E_f^2 / 1.499$ , 其中  $f$  为无量纲振子强度,  $\nu$  的单位为波数 ( $\text{cm}^{-1}$ )。

### 1.2 无辐射跃迁过程

在简谐近似下, 初态和末态的哈密顿量为

收稿日期: 2008-10-06

基金项目: 国家自然科学杰出青年基金(批准号: 10425420)和国家基金重点项目(批准号: 20433070)资助。

联系人简介: 帅志刚, 男, 博士, 研究员, 主要从事有机发光材料的理论研究。E-mail: zgshuai@tsinghua.edu.cn

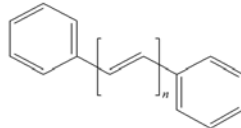


Fig. 1 Chemical structures of diphenylpolyenes

$n = 2(\text{DP2}), 3(\text{DP3}), 4(\text{DP4}), 5(\text{DP5}), 6(\text{DP6}), 7(\text{DP7}), 9(\text{DP9})$ .

$$\hat{H}_{ik} = (1/2)(\hat{P}_{ik}^2 + \omega_{ik}^2 Q_{ik}^2), \quad \hat{H}_{jl} = (1/2)(\hat{P}_{jl}^2 + \omega_{jl}^2 Q_{jl}^2) \quad (3)$$

$\hat{P}$  和  $\hat{Q}$  分别是核动量和正则模坐标:  $\hat{P}_{ik} = -i\hbar(\partial/\partial Q_{ik})$ ,  $\hat{P}_{jl} = -i\hbar(\partial/\partial Q_{jl})$ . 方程(3)的本征矢量为  $\Theta_{iv_i} = \prod_k \chi_{iv_{ik}}(Q_{ik})$ ,  $\Theta_{fv_f} = \prod_l \chi_{fv_{jl}}(Q_{jl})$ , 本征值分别为  $E_{iv_i} = (\nu_{ik} + 1/2)\hbar\omega_{ik}$  和  $E_{fv_f} = (\nu_{jl} + 1/2)\hbar\omega_{jl}$ . 通常, 初态与末态的抛物面是不同的, 正则模坐标之间可以用一个幺正变换和平移来表示:  $Q_{ik} = \sum_l S_{kl} Q_{jl} + D_k$ , 式中,  $S$  是 Duschinsky 正交矩阵<sup>[24]</sup>,  $D$  是初态和末态最小点之间的位移矢量.

根据费米黄金规则, 无辐射跃迁速率可以表达为<sup>[25~27]</sup>

$$W_{f-i}(T) = \frac{2\pi}{\hbar} \sum_{v_i} \sum_{v_f} P_{iv_i}(T) |\langle f\nu_f | \hat{H}' | iv_i \rangle|^2 \delta(E_{fi} + E_{fv_f} - E_{iv_i}) \quad (4)$$

对于内转换过程, 微扰项由 Born-Oppenheimer 算符给出

$$\langle f\nu_f | \hat{H}' | iv_i \rangle = -\hbar^2 \sum_k \left[ \langle \Phi_f \Theta_{fv_f} \left| \frac{\partial \Phi_i}{\partial Q_{jk}} \frac{\partial \Theta_{iv_i}}{\partial Q_{jk}} \right\rangle - \frac{1}{2} \langle \Phi_f \Theta_{fv_f} \left| \Phi_i \frac{\partial^2 \Theta_{iv_i}}{\partial Q_{jk}^2} \right\rangle \right] \quad (5)$$

在 Condon 近似下, 第二项可以忽略. 这样方程(5)可以写为

$$W_{f-i}(T) = \frac{2\pi}{\hbar} |R_i(fi)|^2 \sum_{v_i} \sum_{v_f} P_{iv_i} \left| \langle \chi_{fv_f} \left| \frac{\partial}{\partial Q_{jl}} \right| \chi_{iv_i} \right|^2 \prod_j' |\langle \chi_{fv_f} | \chi_{iv_j} \rangle|^2 \delta(E_{fi} + E_{fv_f} - E_{iv_i}) \quad (6)$$

为简单起见只考虑一个模式  $l$  为提升模式. 将式(6)中 Dirac-delta 函数做傅里叶展开

$$W_{f-i}(T) = \frac{1}{\hbar} |R_i(fi)|^2 \frac{1}{Z_{iv}} \int_{-\infty}^{\infty} d\tau \frac{1}{\hbar^2} e^{iE_{if}\tau} \rho_i(\tau, \beta) \rho_a(\tau, \beta) \quad (7)$$

式中

$$\begin{aligned} \rho_i(\tau, \beta) &= \sum_{v_{il}} \sum_{v_{jl}} e^{-\beta E_{v_{il}}^i} |\langle \chi_{fv_{jl}} | \hat{P}_{jl} | \chi_{iv_{il}} \rangle|^2 e^{i\tau(E_{v_{il}}^i - E_{v_{jl}}^j)} = \sum_{v_{il}} \sum_{v_{jl}} \langle \chi_{iv_{il}} | \hat{P}_{jl} e^{-i\tau E_{v_{jl}}^j} | \chi_{fv_{jl}} \rangle \\ &\quad \langle \chi_{fv_{jl}} | \hat{P}_{jl} e^{-(\beta - i\tau) E_{v_{il}}^i} | \chi_{iv_{il}} \rangle = \text{Tr}(\hat{P}_{jl} e^{-i\tau H_j^j} \hat{P}_{jl} e^{-(\beta - i\tau) H_i^i}) \end{aligned} \quad (8)$$

$$\rho_a(\tau, \beta) = \prod_{j \neq l} \sum_{v_{ij}} \sum_{v_{jj}} e^{-\beta E_{v_{ij}}^i} |\langle \chi_{fv_{jj}} | \chi_{iv_{ij}} \rangle|^2 e^{i\tau(E_{v_{ij}}^i - E_{v_{jj}}^j)} = \text{Tr}(\hat{P}_{jl} e^{-i\tau H_j^j} \hat{P}_{jl} e^{-(\beta - i\tau) H_i^i}) \quad (9)$$

$\rho_i(\tau, \beta)$  和  $\rho_a(\tau, \beta)$  称为基态和激发态的热关联函数. 实际上, 式(9)即为吸收和发射过程中考虑杜辛斯基转动的 Franck-Condon 因子, 对于谐振子哈密顿, 可应用高斯积分公式给出解析解<sup>[28,29]</sup>. 但式(8)包含了核动量算符, 导致了问题的复杂性.

用  $\underline{x}, \underline{y}, \underline{z}$  和  $\underline{w}$  代表末态坐标基,  $\underline{x}'$  和  $\underline{y}'$  代表初态坐标基. 则

$$\langle \underline{x} | \hat{P}_{jl} | \underline{y} \rangle = -i\hbar \delta'(\underline{x}_l - \underline{y}_l) \prod_{j \neq l} [\delta(\underline{x}_j - \underline{y}_j)] \quad (10)$$

$$\langle \underline{y} | e^{-i\tau H_j^j} | \underline{z} \rangle = \sqrt{\frac{\det(\mathbf{a}_f)}{(2\pi i\hbar)^N}} \exp \left\{ \frac{i}{\hbar} \left[ \frac{1}{2} (\underline{y}^T \mathbf{b}_f \underline{y} + \underline{z}^T \mathbf{b}_f \underline{z}) - \underline{y}^T \mathbf{a}_f \underline{z} \right] \right\} \quad (11)$$

$$\langle \underline{w} | \underline{y}' \rangle = \delta[\underline{y}' - \underline{w}] = \delta[\underline{y}' - (\mathbf{S}\underline{w} + \underline{D})] \quad (12)$$

$$a_{jl}(\tau) = \omega_{jl}/\sin(\hbar\omega_{jl}\tau); \quad b_{jl}(\tau) = \omega_{jl}/\tan(\hbar\omega_{jl}\tau) \quad (13)$$

$$a_{jl}(\tau, \beta) = \omega_{jl}/\sin[\hbar\omega_{jl}(-\tau - i\beta)]; \quad b_{jl}(\tau, \beta) = \omega_{jl}/\tan[\hbar\omega_{jl}(-\tau - i\beta)] \quad (14)$$

方程(8)与(9)相乘得到总的关联函数为

$$\begin{aligned} \rho_{\text{total}}(\tau, \beta) &= \rho_i(\tau, \beta) \rho_a(\tau, \beta) = \frac{\det[\mathbf{a}_f(\tau)] \det[\mathbf{a}_i(\tau, \beta)]}{(2\pi i\hbar)^{2N}} \int_{-\infty}^{+\infty} d\underline{x} d\underline{y} \mathbf{S}_{il} [b_{jl}(\tau) \underline{x}_l - a_{jl}(\tau) \underline{y}_l] \cdot \\ &\quad \{ b_{il}(\tau, \beta) \mathbf{S}_l^T \underline{y} - a_{il}(\tau, \beta) \mathbf{S}_l^T \underline{x} + [b_{il}(\tau, \beta) - a_{il}(\tau, \beta)] D_l \} \cdot \\ &\quad \exp \{ (i/\hbar) [(1/2)(\underline{x}^T \mathbf{B} \underline{x} + \underline{y}^T \mathbf{B} \underline{y}) - \underline{x}^T \mathbf{A} \underline{y} + \underline{D}^T \mathbf{E} \mathbf{S}(\underline{x} + \underline{y}) + \underline{D}^T \mathbf{E} \mathbf{D}] \} \end{aligned} \quad (15)$$

式中,  $\mathbf{S}_l^T$  是一个向量, 表示  $\mathbf{S}$  矩阵的第  $l$  行;  $\mathbf{A}(\tau, \beta) = \mathbf{a}_f(\tau) + \mathbf{S}^T \mathbf{a}_i(\tau, \beta) \mathbf{S}$ ;  $\mathbf{B}(\tau, \beta) = \mathbf{b}_f(\tau) + \mathbf{S}^T \mathbf{b}_i(\tau, \beta) \mathbf{S}$ ;  $\mathbf{E}(\tau, \beta) = \mathbf{b}_i(\tau, \beta) - \mathbf{a}_i(\tau, \beta)$ . 在此, 重新定义变量:

$$\mathbf{K} = \begin{pmatrix} \mathbf{B} & -\mathbf{A} \\ -\mathbf{A} & \mathbf{B} \end{pmatrix}_{2N \times 2N}, \quad \mathbf{F} = (D^T \mathbf{E} \mathbf{S}, D^T \mathbf{E} \mathbf{S})_{2N}$$

$$\underline{\mathbf{H}} = \begin{pmatrix} 0 & \\ \vdots & \\ \mathbf{b}_f(\tau)_l \mathbf{E}(\tau, \beta)_l D_l & \\ 0 & \\ \vdots & \\ 0 & \\ -\mathbf{a}_f(\tau)_l \mathbf{E}(\tau, \beta)_l D_l & \\ 0 & \\ \vdots & \end{pmatrix}_{2N}, \quad \underline{\mathbf{G}} = \begin{pmatrix} 0 & 0 \\ \vdots & \vdots \\ -\mathbf{a}_i(\tau, \beta)_l \mathbf{b}_f(\tau)_l \mathbf{S}_l^T & \mathbf{b}_f(\tau)_l \mathbf{b}_i(\tau, \beta)_l \mathbf{S}_l^T \\ 0 & 0 \\ \vdots & \vdots \\ 0 & 0 \\ \vdots & \vdots \\ \mathbf{a}_f(\tau)_l \mathbf{a}_i(\tau, \beta)_l \mathbf{S}_l^T & -\mathbf{a}_f(\tau)_l \mathbf{b}_i(\tau, \beta)_l \mathbf{S}_l^T \\ 0 & 0 \\ \vdots & \vdots \end{pmatrix}_{2N \times 2N}$$

进一步将变量  $x, y$  组合成为一个二分量向量  $\mathbf{z}, \mathbf{z}^T = [x^T, y^T]$ , 使得式(15)中的被积函数可以化简为标准的高斯函数积分形式, 则很容易求得:

$$\rho_{\text{total}}(\tau, \beta) = \sqrt{[\det(\mathbf{a}_f) \det(\mathbf{a}_i)] / \det(\mathbf{K})} \{ -i\hbar [\text{Tr}(\mathbf{G}\mathbf{K}^{-1})] + \mathbf{H}^T \mathbf{K}^{-1} \mathbf{F} - (\mathbf{K}^{-1} \mathbf{F})^T \mathbf{G} (\mathbf{K}^{-1} \mathbf{F}) \} \cdot \exp \{ (i/\hbar) [-(1/2) \mathbf{F}^T \mathbf{K}^{-1} \mathbf{F} + \underline{D}^T \underline{\mathbf{E}} \underline{\mathbf{D}}] \} \quad (16)$$

若不考虑 Duschinsky 转动且初末态的抛物线完全相同, 则  $\sqrt{\det(\mathbf{a}_i \mathbf{a}_f) / \det(\mathbf{K})} / Z_w = 1$ . 通常, 要小心处理该行列式因子, 因为复数的相因子随时间演化没有规律. 如此, 便完全解析地得到无辐射跃迁速率[式(7)]. 通过量子化学求解基态和激发态的振动模式, 通过时间积分(8), 便得到无辐射跃迁速率.

### 1.3 计算细节

对于给定的分子, 可以通过 DFT (TDDFT)/B3LYP/6-31G\* 分别优化基态和激发态结构, 在平衡构型下, 对于基态采用解析能量梯度, 对于激发态采用数值能量梯度得到正则模式. 对于二苯多烯分子, 先用  $C_1$  对称优化结构, 然后加上  $C_{2h}$  对称性限制, 再优化. 以上步骤用 Turbomole 程序<sup>[30,31]</sup>完成. 基于上述结果, 采用 DUSHIN<sup>[32,33]</sup>程序求出 Duschinsky 转动矩阵和每个模式的位移矢量. 运用 Gaussian 03 程序包<sup>[34]</sup>, 在 TDDFT/B3LYP/6-31G\* 水平上计算了分子在基态平衡构型下单电子电场算符的跃迁矩阵元; 分子的电子耦合矩阵是由文献[22]阐述的方法求得.

## 2 结果与讨论

图 2 给出了化合物的绝热激发能是双键个数  $N$ (沿着连接末端 C 原子的分子骨架的最短路径上的双键个数,  $N = n + 4$ ) 的倒数的函数. 实线是 Kuhn 拟合公式<sup>[35]</sup>对数据点的拟合结果.

图 3 描绘了 7 个化合物的前线轨道. 由图 3 可见, 无论是最高占据轨道(HOMO)还是最低非占据轨道(LUMO), 电荷密度主要分布在多烯烃骨架上. 随着多烯烃链的增长, 其电荷密度在两端苯环上的分布越来越少. 另外对于 HOMO, 多烯烃链的  $C=C$  是成键的,  $C-C$  是反键的; 对于 LUMO, 则相反,  $C=C$  是反键的, 而  $C-C$  是成键的. 因此, 电子激发时必将会导致键长交替变化.

图 4 和图 5 给出了这 7 个化合物从第一激发单线态到基态单线态的光物理性质, 其中包括辐射跃迁速率, 振子强度和无辐射内转换速率. 前者的计

算结果(图 4)显示, 化合物的辐射跃迁速率与多烯烃链长的变化几乎无关. 这是因为辐射跃迁速率正比于振子强度 [ $f = (2/3) |\mu_{fi}|^2 \Delta E_{fi}$ ] 和两电子态之间能量差的平方  $\Delta E_{fi}^2$ . 从图 4 的内插图很容易看出, 随着共轭链的增长, 振子强度是平稳增加的, 而能量差则是下降的. 两者的平衡效果使无辐射跃迁变化非常小. 图 5 为无辐射跃迁完全不同的情况. 从我们以前的工作<sup>[36,37]</sup>发现, 对无辐射跃迁速率常数会产生很大影响的因素有: (1)两个态的电子耦合强度 [ $R_i(f) = -\hbar^2 \langle \Phi_f | \partial / \partial Q_i | \Phi_i \rangle$ ]; (2)激发态

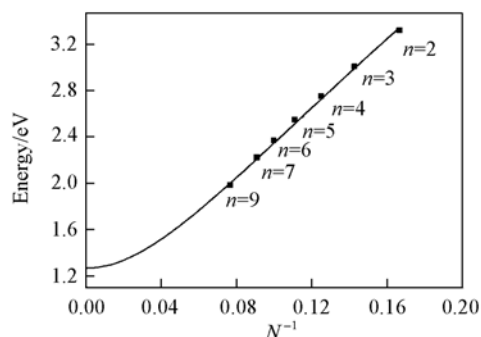


Fig. 2 Adiabatic excitation energies (square dots) and the Kuhn fit (solid lines) of the diphenylpolyenes

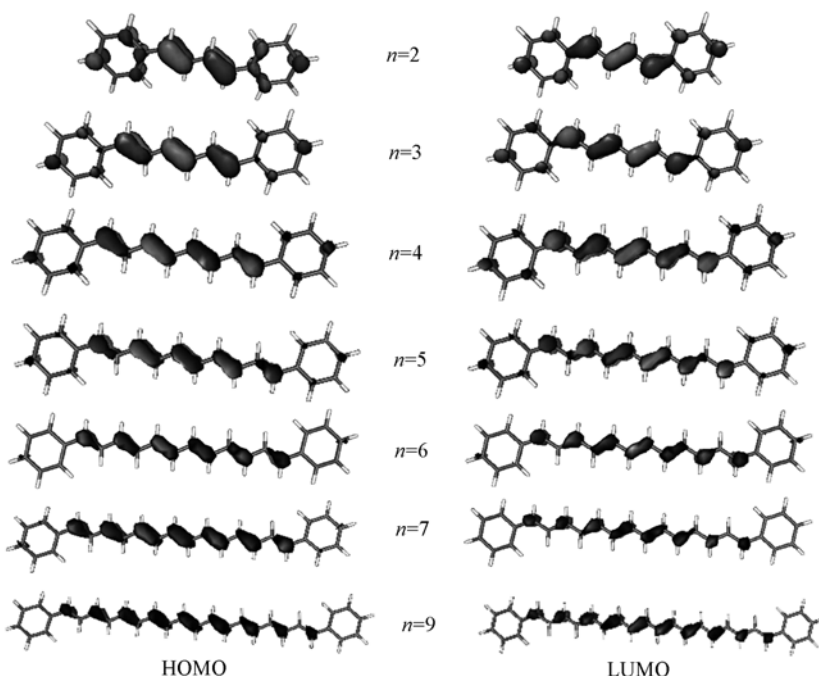
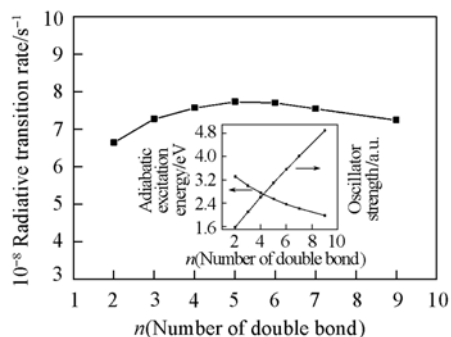
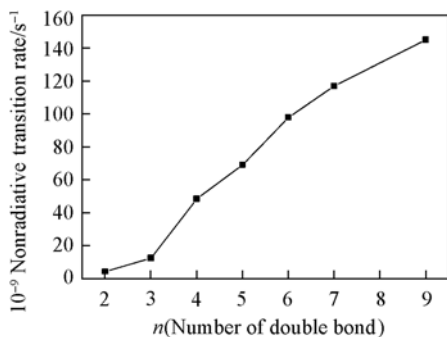


Fig. 3 Frontier molecular orbitals (HOMO and LUMO) of the diphenylpolyenes

Fig. 4 Radiative transition rate constants from the first excited state  $S_1$  to the ground state  $S_0$  in diphenylpolyenes compounds as a function of chain length

The inset shows the oscillator strengths and the transition energies from  $S_1$  to  $S_0$  in diphenylpolyenes compounds.

Fig. 5 Nonradiative transition rate constants from the first excited state  $S_1$  to the ground state  $S_0$  in diphenylpolyenes compounds as a function of chain length

的重整合能，一个正则模式的重整合能  $\lambda_l$  等于此正则模式的 Huang-Rhys 系数  $HR_l$  [ $HR_l = (\omega_l \times D_l^2)/2\hbar$ ] 乘以振动能量  $\hbar\omega_l$ ，即  $\lambda_l = HR_l \times \hbar\omega_l$ 。由计算结果可知，具有  $B_u$  对称性的正则模式对电子耦合贡献很大，可以充当很好的提升模式；而具有  $A_g$  对称性的正则模式在能量弛豫中有很大的重整合能，是很好的接受模式。最后给出的无辐射跃迁速率是以所有的  $B_u$  对称性正则模式为提升模式计算的无辐射跃迁速率之和。随着多烯烃链长的增加，无辐射跃迁速率快速增加。表明能隙规则在此过程将起到主导作用。

## 参 考 文 献

- [1] Friend R. H., Gymer R. W., Holmes A. B., et al. . Nature[J], 1999, **397**: 121—128
- [2] Forrest S. R.. Nature[J], 2004, **428**: 911—918
- [3] Birks J. B.. Photophysics of Aromatic Molecules[M], New York: Wiley, 1970
- [4] Luo J., Xie Z., Lam J. W. Y., et al.. Chem. Commun. [J], 2001, **18**: 1740—1741
- [5] An B. K., Kwon S. K., Jung S. D., et al.. J. Am. Chem. Soc. [J], 2002, **124**: 14410—14415
- [6] Lee S. H., Jang B. B., Kafafi Z. H.. J. Am. Chem. Soc. [J], 2005, **127**: 9071—9078
- [7] Dong Y. Q., Lam J. W. Y., Qin A. J., et al.. Chem. Commun. [J], 2007: 40—42

- [8] Fan X., Sun J. L., Wang F. Z., et al. *Chem. Commun.* [J], 2008: 2989—2991
- [9] Huang K., Rhys A. *Proc. Roy. Soc. Lond. A* [J], 1950, **204**: 406—423
- [10] Lin S. H. *J. Chem. Phys.* [J], 1966, **44**: 3759—3767
- [11] Lin S. H., Bersohn R. *J. Chem. Phys.* [J], 1966, **48**: 2732—2736
- [12] Lin S. H. *J. Chem. Phys.* [J], 1973, **58**: 5760—2768
- [13] Peng Q., Yi Y. P., Shuai Z. G., et al. *J. Chem. Phys.* [J], 2007, **126**: 114302(1—8)
- [14] Peng Q., Yi Y. P., Shuai Z. G., et al. *J. Am. Chem. Soc.* [J], 2007, **129**: 9333—9339
- [15] Abrahamson W., Ostroy S. E. *The Photochemical Macromolecular Aspects of Vision, Progress in Biophysics and Molecular Biology*, Vol. 7 [M], Oxford: Pergamon, 1967
- [16] Cogdell R. J., Frank H. A. *Biochim. Biophys. Acta* [J], 1968, **895**: 63—79
- [17] Siefermann-Harms D. *Biochim. Biophys. Acta* [J], 1985, **811**: 325—355
- [18] Chichester C. O., Nakayama T. O. M. In *Biogenesis of Natural Products* [M], Oxford: Pergamon, 1963
- [19] Jacobs H. J. C., Havinga E. *Adv. Photochem.* [J], 1979, **11**: 305—373
- [20] Hudson B. S., Kohler B. E. *J. Chem. Phys.* [J], 1973, **59**: 4984—5002
- [21] Hudson B. S., Kohler B. E., Shulten K. *Excited States* [J], 1982, **6**: 1—95
- [22] Kohler B. E. *Chem. Rev.* [J], 1993, **93**: 41—54
- [23] Itoh T., Kohler B. E. *J. Phys. Chem.* [J], 1988, **92**: 1807—1813
- [24] Duschinsky F. *Acta Physicochim. USSR* [J], 1937, **7**: 551—566
- [25] Hayashi M., Mebel A. M., Liang K. K., et al. *J. Chem. Phys.* [J], 1998, **108**: 2044—2055
- [26] Mebel A., Hayashi M., Liang K. K., et al. *J. Phys. Chem. A* [J], 1999, **103**: 10674—10690
- [27] Lin S. H., Chang C. H., Liang K. K., et al. *Advances in Chemical Physics* [J], 2002, **121**: 1—88
- [28] Yan Y. J., Mukamel S. *J. Chem. Phys.* [J], 1986, **85**: 5908—5923
- [29] Ianconescu R., Pollak E., J. *Phys. Chem. A* [J], 2004, **108**: 7778—7784
- [30] Deglmann P., Furche F., Ahlrichs R. *Chem. Phys. Lett.* [J], 2002, **362**: 511—518
- [31] Deglmann P., Furche F. *J. Chem. Phys.* [J], 2002, **117**: 9535—9538
- [32] Weber P., Reimers J. R. *J. Phys. Chem. A* [J], 1999, **103**: 9830—9841
- [33] Cai Z. L., Reimers J. R. *J. Phys. Chem. A* [J], 2000, **104**: 8389—8408
- [34] Frisch M. J., Trucks G. W., et al. *Gaussian 03* [CP], Pittsburgh PA: Gaussian Inc., 2003
- [35] Kuhn W., Helv W. *Chim. Acta* [J], 1948, **31**: 1780—1799
- [36] Yu G., Yin S. W., Liu Y. Q., et al. *J. Am. Chem. Soc.* [J], 2005, **127**(17): 6335—6346
- [37] Yin S. W., Peng Q., Shuai Z., et al. *Phys. Rev. B* [J], 2006, **73**: 205409(1—5)

## Effect of Polyene Chain Length on the Photophysical Properties in Diphenpolyenes

PENG Qian<sup>1</sup>, NIU Ying-Li<sup>1</sup>, SHUAI Zhi-Gang<sup>1,2\*</sup>

(1. Institute of Chemistry Chinese Academy of Sciences, Beijing 100190, China;  
 2. Department of Chemistry, Tsinghua University, Beijing 100084, China)

**Abstract** By employing our nonradiative decay rate process coupled with time-dependent Density functional theory (DFT) calculations, we investigate theoretically the conjugation length effects on both the radiative and the non-radiative decay rates for diphenyl-polyenes. We find that the radiative transition rate constants hardly vary with the chain length because of the trade-off between the reduction of energy gap and the enhancement of oscillator strengths, but the non-radiative transition rate increases steadily indicating that the energy gap law governs.

**Keywords** Diphenpolyene; Electronic structure; Conjugation length effect; Photophysical property; Non-radiative decay rate

(Ed. : D, I)